

УДК 544.653.22

# ВОЛЬТАМПЕРОМЕТРИЧЕСКОЕ ОПРЕДЕЛЕНИЕ ГЛУТАТИОНА С ИСПОЛЬЗОВАНИЕМ ГРАФИТОВЫХ ЭЛЕКТРОДОВ, МОДИФИЦИРОВАННЫХ НАНОЧАСТИЦАМИ ЗОЛОТА

© Д. О. Перевезенцева<sup>1</sup>, Э. В. Горчаков<sup>2</sup>*Статья поступила 11 ноября 2014 г.*

Изучено электрохимическое поведение глутатиона методом циклической вольтамперометрии с применением графитовых электродов, модифицированных наночастицами золота и микроосадком золота. В случае использования наночастиц золота в качестве модификатора при  $E = 0,05$  В в сильнощелочной среде на катодной ветви циклической вольтамперограммы наблюдается увеличение высоты «обратного» максимума с ростом концентрации глутатиона. Высота «обратного» максимума глутатиона линейно зависит от его концентрации в растворе в диапазоне 1 – 14 мкмоль/л. Это позволило разработать простую, чувствительную и экспрессную методику определения глутатиона с пределом обнаружения 0,7 мкмоль/л.

**Ключевые слова:** глутатион; графитовый электрод; наночастицы золота; вольтамперометрический метод.

Глутатион — 2-амино-5-{[2-[(карбоксиметил)амино]-1-(меркаптометил)-2-оксоэтил]амино}-5-оксопентановая кислота, трипептид  $\gamma$ -глутамилцистеинилглицин — принимает активное участие во многих окислительно-восстановительных превращениях в организме человека и животных и обеспечивает функционирование ряда SH-зависимых ферментов. Уменьшение содержания глутатиона (GSH) в эритроцитах у новорожденных приводит к возникновению гомолитической анемии, поражениям печени [1]. Разработка высокочувствительных методов определения GSH в различных объектах является важной аналитической задачей. В последнее время для определения GSH все

чаще используют электрохимические методы благодаря их простоте, экспрессности и чувствительности, в частности, вольтамперометрические методы с применением различных электродов (табл. 1). Как видно из табл. 1, ртутно-пленочный электрод (РПЭ), который ограниченно используют в лабораториях из-за токсичности, не является чувствительным. По сравнению с ним платиновый электрод обладает большей чувствительностью [3, 4]. Электроды на основе различных модификаций углерода позволяют уменьшить предел обнаружения GSH на несколько порядков величины [5 – 7]. Модификация индикаторных электродов наночастицами металлов, их оксидов и гидроксидов позволяет улучшить чувствительность определения и уменьшает пределы обнаружения аминокислот [8 – 10]. Модификация поверхности углеродсодержащих электродов наночастицами золота для определения серосодержащих аминокислот явля-

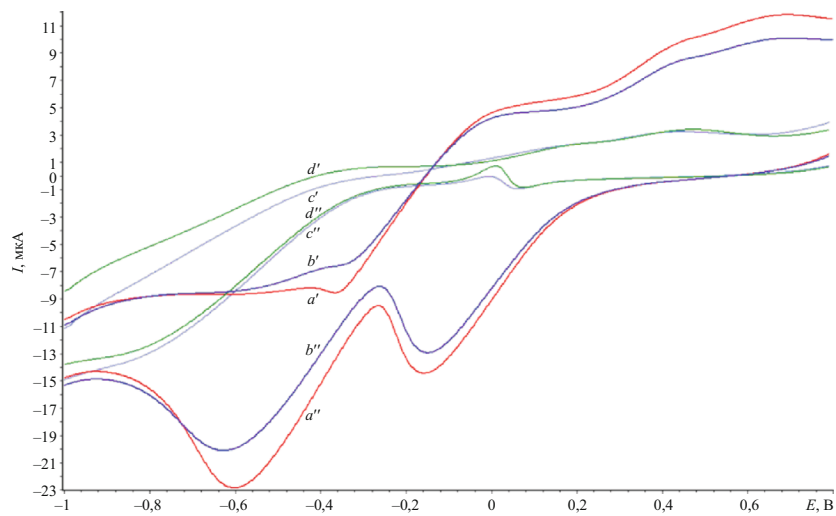
<sup>1</sup> ФГБОУ ВПО Национальный исследовательский Томский политехнический университет, г. Томск, Россия;  
e-mail: dop@tpu.ru

<sup>2</sup> ФГБОУ ВПО Ставропольский государственный аграрный университет, г. Ставрополь, Россия.

**Таблица 1.** Аналитические характеристики некоторых электродов для определения глутатиона

Электрод	Модификатор	pH	ПО, мкмоль/л	Интервал определяемых концентраций, мкмоль/л	Ссылка
РПЭ	—	9,2	150,0	—	[2]
Pt	—	1,3	20,0	—	[3]
Pt	—	4,0	20,0	1 – 10000	[4]
ГЭ	Микросфера	3,6	6,4	—	[5]
ГЭ	Нанотрубки	3,6	5,5	—	[5]
УПЭ	Графит	3,6	4,5	—	[5]
УПЭ	FC	7,0	2,1	2,2 – 3,0	[6]
УПЭ	Нанотрубки, аминазин	4,0	0,16	0,3 – 18,3	[7]
УПЭ	Нанопорошок Cu(OH) <sub>2</sub>	7,0	0,03	1 – 50	[8]
СГЭ	Наночастицы NiO	7,2	100,0	200 – 6000	[9]

**Примечание.** УПЭ — угольнопастовый электрод, СГЭ — стеклографитовый электрод, FC — 2,7-бис(этил)ферроценилфлуорен-9-он.



**Рис. 1.** Циклические вольтамперограммы GSH в растворе фонового электролита 0,1 М NaOH при использовании ГЭ-Au:  $C_{\text{GSH}} = 2 \text{ пмоль/л}$  —  $a'a''$ ,  $C_{\text{GSH}} = 4 \text{ пмоль/л}$  —  $b'b''$  и ГЭ-Au<sub>nano</sub>:  $C_{\text{GSH}} = 2 \text{ пмоль/л}$  —  $c'c''$ ,  $C_{\text{GSH}} = 4 \text{ пмоль/л}$  —  $d'd''$  (скорость развертки потенциала — 0,1 В/с)

ется актуальной задачей. Например, модифицирование графитового электрода наночастицами золота позволило снизить предел обнаружения цистеина на пять порядков величины [11].

Целью данной работы является изучение возможности использования графитовых электродов, модифицированных наночастицами золота (ГЭ-Au<sub>nano</sub>), для определения глутатиона и разработка чувствительного вольтамперометрического способа его определения в водных растворах.

В работе использовали вольтамперометрический анализатор ТА-4 (ООО «Томъаналит», г. Томск) с трехэлектродной ячейкой. Очистку поверхности ГЭ проводили механическим способом с помощью фильтровальной бумаги. В качестве индикаторного электрода использовали графитовые электроды, модифицированные наночастицами золота (ГЭ-Au<sub>nano</sub>) и микроосадком золота, осаждаемого из раствора HAuCl<sub>4</sub> с концентрацией 10 мг/л (ГЭ-Au). Вспомогательным и электродом сравнения служили насыщенные хлоридсеребряные электроды.

Модификация поверхности ГЭ наночастицами золота проводили по следующей методике. Электрод помещали в электрохимическую ячейку (кварцевый стакан объемом 20 мл), заполненную 10 мл 0,1 М HCl с добавкой 0,1 мл золя золота, приготовленного согласно методике, описанной в работе [12]. При потенциале электролиза −1,0 В в течение 300 с модифицировали поверхность индикаторного электрода золотыми наночастицами, после чего электрод вынимали из раствора, ополаскивали бидистиллированной водой и помещали в электрохимическую ячейку с 0,1 М NaOH для вольтамперометрического определения GSH.

Модификацию поверхности ГЭ микроосадком золота проводили следующим образом. Электрод помещали в электрохимическую ячейку с 10 мл раствора HAuCl<sub>4</sub> (10 мг/л). Золото электрохимически осаждали на поверхность ГЭ при потенциале накопления −1,0 В в течение 30 с. Затем электрод вынимали из

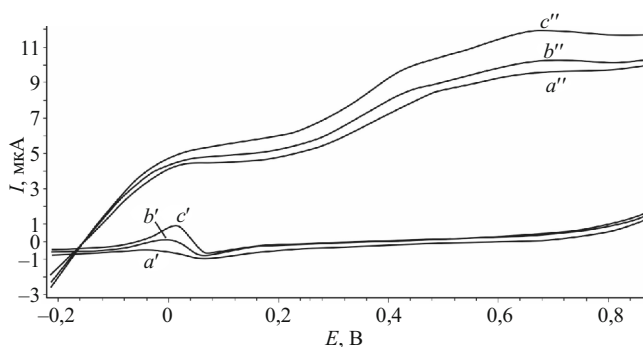
раствора, ополаскивали бидистиллированной водой и помещали в фоновый электролит (0,1 М NaOH) для вольтамперометрического определения GSH. Растворы GSH ( $C = 2 \cdot 10^{-4} \text{ моль/л}$ ) готовили растворением точной навески в воде. Серии растворов с меньшей концентрацией GSH получали последовательным разбавлением исходного раствора непосредственно перед измерениями.

Электрохимическое поведение GSH изучали в растворе фонового электролита NaOH с применением ГЭ-Au и ГЭ-Au<sub>nano</sub> (рис. 1).

Как видно из рис. 1, в случае использования ГЭ-Au на циклической вольтамперограмме GSH (2 пмоль/л) при сканировании в области потенциалов от −1,0 до +0,8 В наблюдаются три волны при потенциалах  $E_{\text{a}1} = 0,0 \text{ В}$ ,  $E_{\text{a}2} = 0,4 \text{ В}$ ,  $E_{\text{a}3} = 0,6 \text{ В}$  (см. рис. 1, анодная ветвь, кривая  $a'$ ). При сканировании в области потенциалов от +0,8 до −1,0 В зарегистрированы два максимума при  $E_{\text{k}1} = −0,16 \text{ В}$  и  $E_{\text{k}2} = −0,6 \text{ В}$  (см. рис. 1, катодная ветвь, кривая  $a''$ ). При увеличении концентрации GSH в два раза (4 пмоль/л) высоты анодных (кривая  $b'$ ) и катодных максимумов (кривая  $b''$ ) уменьшаются, что обусловлено адсорбцией GSH на поверхности электрода.

В случае использования ГЭ-Au<sub>nano</sub> при концентрации GSH 2 пмоль/л на анодной ветви циклической вольтамперограммы при сканировании потенциала в области от −1,0 до +0,8 В наблюдается волна при потенциале  $E_{\text{a}} = 0,4 \text{ В}$  (кривая  $c'$ , рис. 1). При увеличении концентрации GSH (4 пмоль/л) высота анодного максимума возрастает в два раза по сравнению с высотой для первой добавки (кривая  $d'$ ). При сканировании в области потенциалов от +0,8 до −1,0 В наблюдается «обратный» максимум при  $E_{\text{k}} = 0,05 \text{ В}$  (катодная ветвь, кривая  $c''$ ), высота которого при увеличении концентрации GSH от 2 до 4 пмоль/л пропорционально возрастает в два раза (катодная ветвь, кривая  $d''$ ).

Появление на вольтамперограмме «обратного» катодного пика (кривая  $c''$ ) при использовании



**Рис. 2.** Циклические вольтамперограммы GSH, полученные при использовании ГЭ-Au<sub>nano</sub>: фоновая кривая — a'a''; C<sub>GSH</sub> = 4 пмоль/л — b''b''; C<sub>GSH</sub> = 8 пмоль/л — c''c''

ГЭ-Au<sub>nano</sub>, возможно, связано с окислением оксида золота [13, 14]:



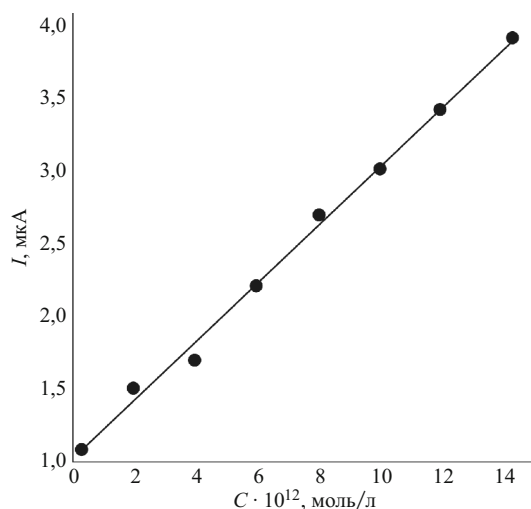
Аналогичный процесс окисления был обнаружен для серебра (Ag → Ag<sub>2</sub>O) в щелочном растворе [15] и для золота, осажденного на поверхности ртутного электрода, катализирующего восстановление кислорода [16].

В этом случае «обратный» катодный максимум в присутствии GSH на катодной ветви циклической вольтамперограммы может быть описан схемой:



Пропорциональное увеличение высоты «обратного» максимума также обнаружено в присутствии 4 и 8 пмоль/л GSH (рис. 2, кривые b', c''). При дальнейшем увеличении концентрации GSH высота «обратного» максимума линейно зависит от концентрации GSH (рис. 3). Эта зависимость линейна в области концентраций от 2 до 14 пмоль/л при использовании ГЭ-Au<sub>nano</sub>.

*Методика вольтамперометрического определения глутатиона.* Фоновый электролит 0,1 М NaOH объемом 10 мл помещали в электрохимическую ячейку, его вольтамперограммы регистрировали в режиме циклической вольтамперометрии при следующих условиях: скорость развертки потенциала — 0,100 В/с, потенциал пика фиксируется в области E = -0,4 – 0,3 В. В фоновый электролит добавляли 20 мкл раствора GSH с концентрацией 1 пмоль/л, полученный раствор перемешивали в течение 1 мин и затем регистрировали циклическую вольтамперограмму



**Рис. 3.** Зависимость тока пика окисления от концентрации GSH на ГЭ-Au<sub>nano</sub> в 0,1 М NaOH

му GSH. Далее добавляли 20 мкл раствора GSH (1 пмоль/л), перемешивали раствор в течение 1 мин и записывали другую циклическую вольтамперограмму GSH. Все измерения проводили при температуре T = 20 – 25 °C и давлении P = 750 мм рт. ст. Каждую вольтамперограмму записывали по два раза. После измерения расчет выполняли по методу стандартных добавок.

Результаты определения GSH в водных растворах представлены в табл. 2.

Предел обнаружения GSH, рассчитанный по 3-критерию, равен 0,7 пмоль/л. На основании полученных результатов был разработан вольтамперометрический способ определения GSH в водных растворах с использованием ГЭ-Au<sub>nano</sub> [17]. Повышение чувствительности определения GSH происходит за счет увеличения его «обратного» максимума, что позволило при использовании ГЭ-Au<sub>nano</sub> снизить предел обнаружения на четыре порядка величины по сравнению с известным в литературе методом [8] с применением УПЭ, модифицированным наночастицами гидроксида меди (II).

Таким образом, изучено электрохимическое поведение глутатиона на графитовых электродах, модифицированных наночастицами золота, методом циклической вольтамперометрии в растворе фонового электролита (0,1 М NaOH). Обнаружено увеличение высоты «обратного» максимума на катодной ветви вольтамперограммы глутатиона по сравнению с высотой «обратного максимума» модификатора при потенциале 0,05 В в щелочной среде при использовании графитового электрода, модифицированных наночастицами золота. Увеличение высоты «обратного» максимума глутатиона связано с процессом окисления глутатиона на ГЭ-Au<sub>nano</sub>.

Предложен способ определения глутатиона в модельных растворах в следующих условиях: скорость развертки потенциала — 0,100 В/с; потенциал пика

**Таблица 2.** Результаты определения GSH в модельных водных растворах (n = 6; P = 0,95)

Объект исследования	Введено, C <sub>GSH</sub> , моль/л	Найдено, C <sub>GSH</sub> , моль/л	S <sub>r</sub>
0,1 М NaOH	4 · 10 <sup>-12</sup>	(3,82 ± 1,87) · 10 <sup>-12</sup>	0,489
Водопроводная вода	2 · 10 <sup>-12</sup>	(2,02 ± 0,78) · 10 <sup>-12</sup>	0,305

фиксируется в области  $E = -0,4 - 0,3$  В. Зависимость тока пика «обратного» максимума от концентрации глутатиона линейна в области концентраций 1 – 14 пмоль/л, предел обнаружения, рассчитанный по 3 $\sigma$ -критерию, составляет 0,7 пмоль/л. На основании полученных результатов разработана простая, чувствительная и экспрессная методика определения глутатиона.

## ЛИТЕРАТУРА

1. Гараева С. Н., Редкозубова Г. В., Постолати Г. В. Аминокислоты в живом организме. — Кишинев: АН Молдовы, 2009. — 552 с.
2. Huska D., Zitka O., Adam V., et al. A sensor for investigating the interaction between biologically important heavy metals and glutathione / Czech J. Anim. Sci. 2007. Vol. 52. N 2. P. 37 – 43.
3. Пат. 2441225 РФ. Способ определения глутатиона в биологически активных добавках методом катодной вольтамперометрии / Короткова Е. И., Дорожко Е. В.; опубл. 27.01.12., бул. № 3.
4. Будников Г. К., Зиятдинова Г. К., Валитова Я. Р. Электрохимическое определение глутатиона / Журн. аналит. химии. 2004. Т. 59. № 6. С. 645 – 648.
5. Apetrei C., Apetrei I. M., De Saja J. A. et al. Carbon paste electrodes made from different carbonaceous materials: application in the study of antioxidants / Sensors. 2011. Vol. 11. P. 328 – 1344.
6. Raoof J. B., Ojani R., Karimi-Maleh H. Electrocatalytic oxidation of glutathione at carbon paste electrode modified with 2,7-bis (ferrocenyl ethyl) fluoren-9-one: application as a voltammetric sensor / Appl. Electrochem. 2009. Vol. 39. P. 1169 – 1175.
7. Ensafi Ali. A., Taei M., Khayamian T. Voltammetric measurement of trace amount of glutathione using multiwall carbon nanotubes as a sensor and chlorpromazine as a mediator / J. Solid State Electrochem. 2010. Vol. 14. P. 1415 – 1423.
8. Safavi A., Maleki N., Farjam E., et al. Electrochemical determination of glutathione and glutathione disulfide at a nanoscale copper hydroxide composite carbon ionic liquid electrode / Anal. Chim. Acta. 2009. Vol. 81. P. 7538 – 7543.
9. Chee S. Y., Flegel M., Pumera M. Regulatory peptides desmopressin and glutathione voltammetric determination on nickel oxide modified electrodes / Electrochim. Comm. 2011. Vol. 13. P. 963 – 965.
10. Compton R. G. The use of nanoparticles in electroanalysis: a review / Anal. Bioanal. Chem. 2006. Vol. 384. P. 601 – 619.
11. Perevezentseva D. O., Gorchakov E. V. Voltammetric determination of cysteine at a graphite electrode modified with gold nanoparticles / Solid State Electrochem. 2012. Vol. 16. N 7. P. 2405 – 2410.
12. Коршунов А. В., Перевезенцева Д. О., Коновчук Т. В., Миронец Е. В. Влияние дисперсного состава золей серебра и золота на их электрохимическую активность / Изв. Томского политех. ун-та. 2010. Т. 317. № 3. С. 6 – 13.
13. Burke L., Nugent P. The electrochemistry of Gold: I The redox behavior of metal in aqueous media / Gold Bull. 1997. Vol. 30. P. 43 – 53.
14. Burke L. D., Lyons M. Modern aspects of electrochemistry. N 18. / Eds. R. White, J. Bockris, B. Conway. — New York: Plenum Press, 1986. P. 169 – 182.
15. Брайнина Х. З. Об обратимых пиках на поляризационных кривых / Электрохимия. 1988. Т. 13. С. 678 – 680.
16. Korshunov A. V., Yosypchuk B., Heyrovsky M. Voltammetry of aqueous chloroauric acid with hanging mercury drop electrode / Collect. Czech. Chem. Comm. 2011. Vol. 76. P. 929 – 936.
17. Пат. 2528584 РФ. Способ определения глутатиона в модельных водных растворах методом циклической вольтамперометрии на графитовом электроде, модифицированном коллоидными частицами золота / Перевезенцева Д. О., Горчаков Э. В., Сейтжанова М. А. Заявл. 19.03.13; опубл. 20.09.14. [in Russian].

## REFERENCES

1. Garaeva S. N., Redkozubova G. V., Postolati G. V. Aminokisloty v zhivotnom organizme. — Chișinău: Moldavian Acad. Sci., 2009. — 552 p. [in Russian].
2. Huska D., Zitka O., Adam V., et al. A sensor for investigating the interaction between biologically important heavy metals and glutathione / Czech J. Anim. Sci. 2007. Vol. 52. N 2. P. 37 – 43.
3. Pat. 2441225 RF. Sposob opredeleniya glutationa v biologicheski aktivnykh dobavkakh metodom katodnoi vol'tamperometrii / Korotkova E. I., Dorozhko E. V.; publ. 27.01.12., Byul. N 3. [in Russian].
4. Budnikov G. K., Ziyatdinova G. K., Valitova Ya. R. Elektrokhimicheskoe opredelenie glutationa / Zh. Anal. Khimii. 2004. Vol. 59. N 6. P. 645 – 648. [in Russian].
5. Apetrei C., Apetrei I. M., De Saja J. A. et al. Carbon paste electrodes made from different carbonaceous materials: application in the study of antioxidants / Sensors. 2011. Vol. 11. P. 328 – 1344.
6. Raoof J. B., Ojani R., Karimi-Maleh H. Electrocatalytic oxidation of glutathione at carbon paste electrode modified with 2,7-bis (ferrocenyl ethyl) fluoren-9-one: application as a voltammetric sensor / Appl. Electrochem. 2009. Vol. 39. P. 1169 – 1175.
7. Ensafi Ali. A., Taei M., Khayamian T. Voltammetric measurement of trace amount of glutathione using multiwall carbon nanotubes as a sensor and chlorpromazine as a mediator / J. Solid State Electrochem. 2010. Vol. 14. P. 1415 – 1423.
8. Safavi A., Maleki N., Farjam E., et al. Electrochemical determination of glutathione and glutathione disulfide at a nanoscale copper hydroxide composite carbon ionic liquid electrode / Anal. Chim. Acta. 2009. Vol. 81. P. 7538 – 7543.
9. Chee S. Y., Flegel M., Pumera M. Regulatory peptides desmopressin and glutathione voltammetric determination on nickel oxide modified electrodes / Electrochim. Comm. 2011. Vol. 13. P. 963 – 965.
10. Compton R. G. The use of nanoparticles in electroanalysis: a review / Anal. Bioanal. Chem. 2006. Vol. 384. P. 601 – 619.
11. Perevezentseva D. O., Gorchakov E. V. Voltammetric determination of cysteine at a graphite electrode modified with gold nanoparticles / Solid State Electrochem. 2012. Vol. 16. N 7. P. 2405 – 2410.
12. Korshunov A. V., Perevezentseva D. O., Konovchuk T. V., Mironets E. V. Vliyanie dispersnogo sostava zolei serebra i zolota na ikh elektrokhimicheskuyu aktivnost' / Izv. Tomskogo politekh. un-ta. 2010. Vol. 317. N 3. P. 6 – 13. [in Russian].
13. Burke L., Nugent P. The electrochemistry of Gold: I The redox behavior of metal in aqueous media / Gold Bull. 1997. Vol. 30. P. 43 – 53.
14. Burke L. D., Lyons M. Modern aspects of electrochemistry. N 18. / Eds. R. White, J. Bockris, B. Conway. — New York: Plenum Press, 1986. P. 169 – 182.
15. Brainina Kh. Z. Ob obratimykh pikakh na poliarizatsionnykh krivykh / Elektrokhimiya. 1988. Vol. 13. P. 678 – 680. [in Russian].
16. Korshunov A. V., Yosypchuk B., Heyrovsky M. Voltammetry of aqueous chloroauric acid with hanging mercury drop electrode / Collect. Czech. Chem. Comm. 2011. Vol. 76. P. 929 – 936.
17. Pat. 2528584 RF. Sposob opredeleniya glutationa v model'nykh vodnykh rastvorakh metodom tsiklicheskoj vol'tamperometrii na grafitovom elektrode, modifitsirovannom kolloidnymi chasitsami zolota / Perevezentseva D. O., Gorchakov E. V., Seitzhanova M. A. Appl. 19.03.13; publ. 20.09.14. [in Russian].